



SVEUČILIŠTE U ZAGREBU
FAKULTET STROJARSTVA I BRODOGRADNJE
Katedra za strojarsku automatiku



Seminarski rad iz kolegija

Modeliranje i simulacija
mehatroničkih sustava

Inverzni klin

Zadatak zadao:

Prof. dr. sc. Željko

Šitum

Ocjena:

Student:

Antonio Ćuk
0035239603

U Zagrebu, srpanj,
2024.

Sadržaj

Popis oznaka.....	3
1. Raspis Euler-Lagrange-ove metode za nelinearni sustav	4
1.1. Simulacijski model nelinearnog sustava i njegov odziv	6
2. Linearizacija sustava i prostor stanja	7
2.2. Simulacijski model linearnog sustava i njegov odziv	8
3. Sinteza regulatora	9
3.1. Odzivi sustava sa uključenim regulatorom	10
4. Zaključak	12

Popis oznaka

m	masa klizača [kg]
M	masa okvira [kg]
c	udaljenost težišta od središta rotacije [m]
d	udaljenost klizne plohe od središta rotacije [m]
b_1	koeficijent viskoznog trenja okvira [Nms]
b_2	koeficijent viskoznog trenja klizača [Ns/m]
g	ubrzanje sile [m/s^2]
θ	kut zakreta okvira [rad]
$\dot{\theta}$	kutna brzina okvira [rad/s]
$\ddot{\theta}$	kutno ubrzanje okvira [rad/s^2]
x	pozicija klizača na okviru [m]
\dot{x}	brzina klizača [m/s]
\ddot{x}	ubrzanje klizača [m/s^2]

1. Raspis Euler-Lagrange-ove metode za nelinearni sustav

1 Općenito Euler-Lagrange jednadžbe

$$\frac{d}{dt}\left(\frac{\partial K_j}{\partial \dot{q}_i}\right) - \frac{\partial K_j}{\partial q_i} + \frac{\partial P_j}{\partial q_i} = T_{ij} \quad (1)$$

T_{ij} - sila/moment u i-toj upravljanoj koordinati

K_j - kinetička energija j-te mase

P_j - potencijalna energija j-te mase

q_i - i-ta upravljana koordinata

\dot{q}_i - brzina i-te upravljane koordinate

Figure 1: Skica kosine

Iz slike je vidljivo da vrijedi:

$$\begin{aligned} h_1 &= x \sin \theta \\ h_2 &= d \cos \theta \end{aligned}$$

2 Kinetička i potencijalna energija te brzina za klizač

$$K = \frac{1}{2} \int_{(m)} v^2 dm = \frac{1}{2} m v^2 \quad (2)$$

$$P = mgh \quad (3)$$

$$v = \frac{d\theta}{dt} \quad (4)$$

3 Okvir

$$v = r\omega = c\dot{\theta} \quad (5)$$

$$K_1 = \frac{1}{2} M c^2 \dot{\theta}^2 \quad (6)$$

$$P_1 = Mgc \cos \theta \quad (7)$$

4 Klizač

$$\begin{bmatrix} x \\ y \end{bmatrix} = \begin{bmatrix} \cos \theta & -\sin \theta \\ \sin \theta & \cos \theta \end{bmatrix} \begin{bmatrix} x_1 \\ y_1 \end{bmatrix}, \quad \begin{matrix} x_1 = x \\ x_2 = d \end{matrix} \quad (8)$$

$$p_2 = \begin{bmatrix} x \cos \theta & -d \sin \theta \\ x \sin \theta & d \cos \theta \end{bmatrix} \quad (9)$$

$$v_2 = \frac{dp_2}{dt} = \begin{bmatrix} \dot{x} \cos \theta - x \dot{\theta} \sin \theta & -d \dot{\theta} \cos \theta \\ \dot{x} \sin \theta + x \dot{\theta} \cos \theta & -d \dot{\theta} \sin \theta \end{bmatrix} \quad (10)$$

$$\begin{aligned}
v_2^2 &= [(x - d\dot{\theta}) \cos \theta - x\dot{\theta} \sin \theta]^2 + [(x - d\dot{\theta}) \sin \theta + x\dot{\theta} \cos \theta]^2 \\
&= [(\dot{x} - d\dot{\theta})^2 \cos^2 \theta - 2(\dot{x} - d\dot{\theta}) \cos \theta x\dot{\theta} \sin \theta + x^2 \dot{\theta}^2 \sin^2 \theta] \\
&\quad + [(\dot{x} - d\dot{\theta})^2 \sin^2 \theta + 2(\dot{x} - d\dot{\theta}) \sin \theta x\dot{\theta} \cos \theta + x^2 \dot{\theta}^2 \cos^2 \theta] \\
&= [(\dot{x} - d\dot{\theta})^2 + x^2 \dot{\theta}^2] \\
&= \dot{x}^2 - 2d\dot{x}\dot{\theta} + d^2\dot{\theta}^2 + x^2\dot{\theta}^2
\end{aligned} \tag{11}$$

$$K_2 = \frac{1}{2}m(\dot{x}^2 - 2d\dot{x}\dot{\theta} + d^2\dot{\theta}^2 + x^2\dot{\theta}^2) \tag{12}$$

$$P_2 = mgx \sin \theta + mgd \cos \theta \tag{13}$$

$$K = K_1 + K_2 = \frac{1}{2}(\dot{x}^2 - 2d\dot{x}\dot{\theta} + d^2\dot{\theta}^2 + x^2\dot{\theta}^2) + \frac{1}{2}Mc^2\dot{\theta}^2 \tag{14}$$

$$P = P_1 + P_2 = mgx \sin \theta + mdg \cos \theta - Mgc \cos \theta \tag{15}$$

5 Raspis Euler-Lagrange formula

$$\begin{aligned}
q_1 &= \theta & , & & T_1 &= Fd \\
q_2 &= x & , & & T_2 &= F
\end{aligned}$$

$$\frac{\partial K}{\partial \dot{x}} = \frac{1}{2}m(2\dot{x} - 2d\dot{\theta}) \tag{16}$$

$$\frac{d}{dt}\left(\frac{\partial K}{\partial \dot{x}}\right) = m\ddot{x} - md\ddot{\theta} \tag{17}$$

$$\frac{\partial K}{\partial x} = \frac{1}{2}m(2x\dot{\theta}^2) = mx(\dot{\theta})^2 \tag{18}$$

$$\frac{\partial P}{\partial x} = mg \sin \theta \tag{19}$$

$$m\ddot{x} - md\ddot{\theta} - mx\dot{\theta}^2 + mg \sin \theta = F \tag{20}$$

$$\frac{\partial K}{\partial \dot{\theta}} = -md\dot{x} + md^2\dot{\theta} + 2mx\dot{x}\dot{\theta} + mx^2\ddot{\theta} + Mc^2\ddot{\theta} \tag{21}$$

$$\frac{\partial K}{\partial \theta} = 0 \tag{22}$$

$$\frac{\partial P}{\partial \theta} = mgx \cos \theta - mgd \sin \theta - Mgc \sin \theta \tag{23}$$

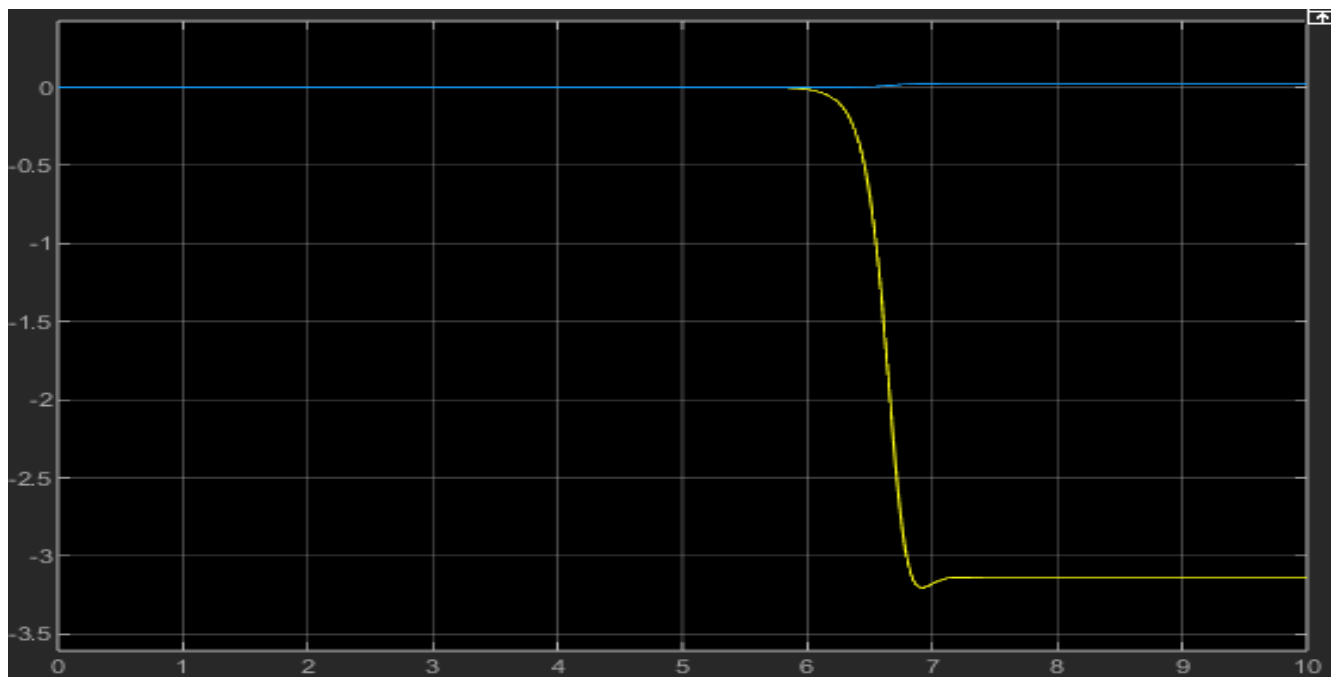
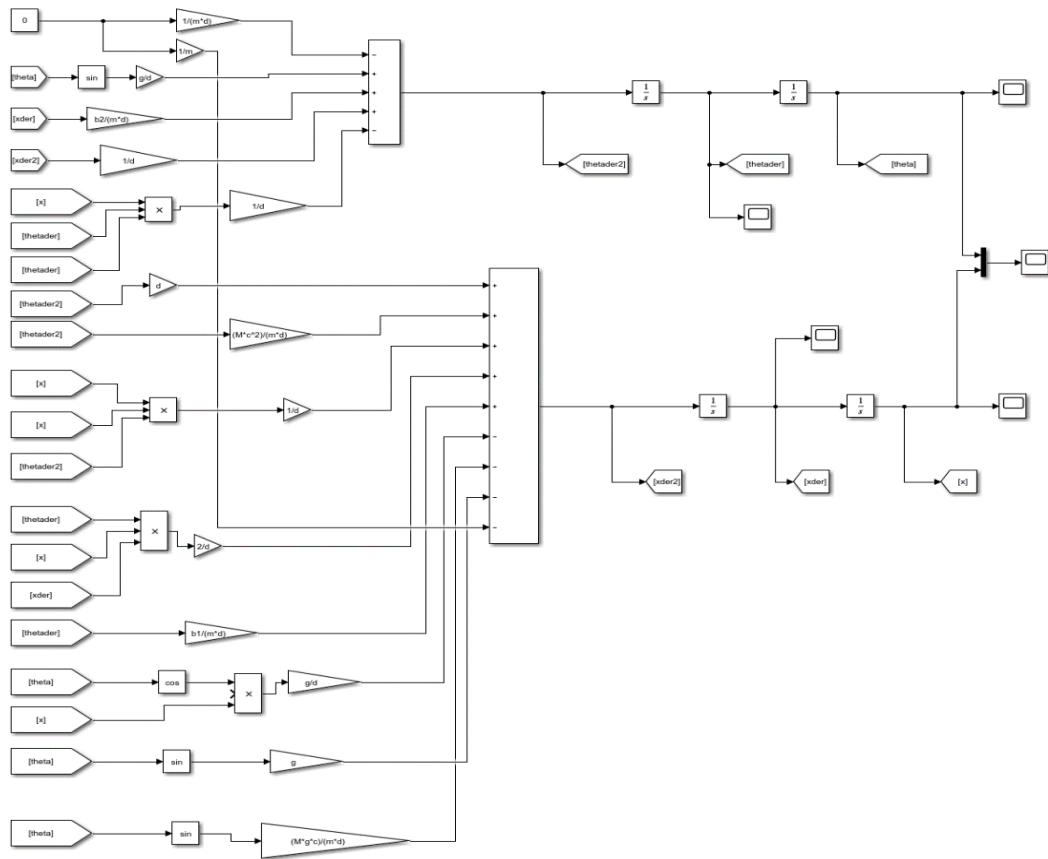
$$md^2\ddot{\theta} + mx^2\ddot{\theta} + Mc^2\ddot{\theta} - md\ddot{x} + 2mx\dot{x}\dot{\theta} + mgx \cos \theta - mgd \sin(\theta) - Mgc \sin \theta = Fd \tag{24}$$

U jednađžbe (20) i (24) dodajemo faktore $b_1\dot{\theta}$ i $b_2\dot{x}$ koji predstavljaju trenje u sustavu

$$m\ddot{x} + b_2\dot{x} - md\ddot{\theta} - mx\dot{\theta}^2 + mg \sin \theta = F \tag{25}$$

$$md^2\ddot{\theta} + mx^2\ddot{\theta} + Mc^2\ddot{\theta} - md\ddot{x} + 2mx\dot{x}\dot{\theta} + b_1\dot{\theta} + mgx \cos \theta - mgd \sin(\theta) - Mgc \sin \theta = Fd \tag{26}$$

1.1. Simulacijski model nelinearnog sustava i njegov odziv



Slika 1 Odziv nelinearnog sustava

2. Linearizacija sustava i prostor stanja

6 Linearizacija sustava

$$\cos \theta \approx 1 \quad , \quad \sin \theta \approx \theta \quad , \quad \dot{\theta}^2 \approx x^2 \approx \dot{x}\dot{\theta} = 0$$

$$m\ddot{x} + b_2\dot{x} - md\ddot{\theta} + mg\theta = F \quad (27)$$

$$md^2\ddot{\theta} + Mc^2\ddot{\theta} - md\ddot{x} + b_1\dot{\theta} + mgx - mdg\theta - Mgc\theta = Fd \quad (28)$$

$$\ddot{x} = -\frac{b_2}{m}\dot{x} + d\ddot{\theta} - g\theta + \frac{1}{m}F \quad (29)$$

$$\ddot{\theta} = \frac{g}{c}\theta - \frac{b_1}{Mc^2}\dot{\theta} - \frac{mg}{Mc^2}x - \frac{b_2d}{Mc^2}\dot{x} + \frac{2d}{Mc^2}F \quad (30)$$

$$\ddot{x} = \left(\frac{gd}{c} - g\right)\theta - \frac{b_1d}{Mc^2}\dot{\theta} - \frac{mgd}{Mc^2}x - \left(\frac{b_2d^2}{Mc^2} + \frac{b_2}{m}\right)\dot{x} + \left(\frac{2d^2}{Mc^2} + \frac{1}{m}\right)F \quad (31)$$

7 Prostor stanja

$$\dot{x} = Ax + Bu$$

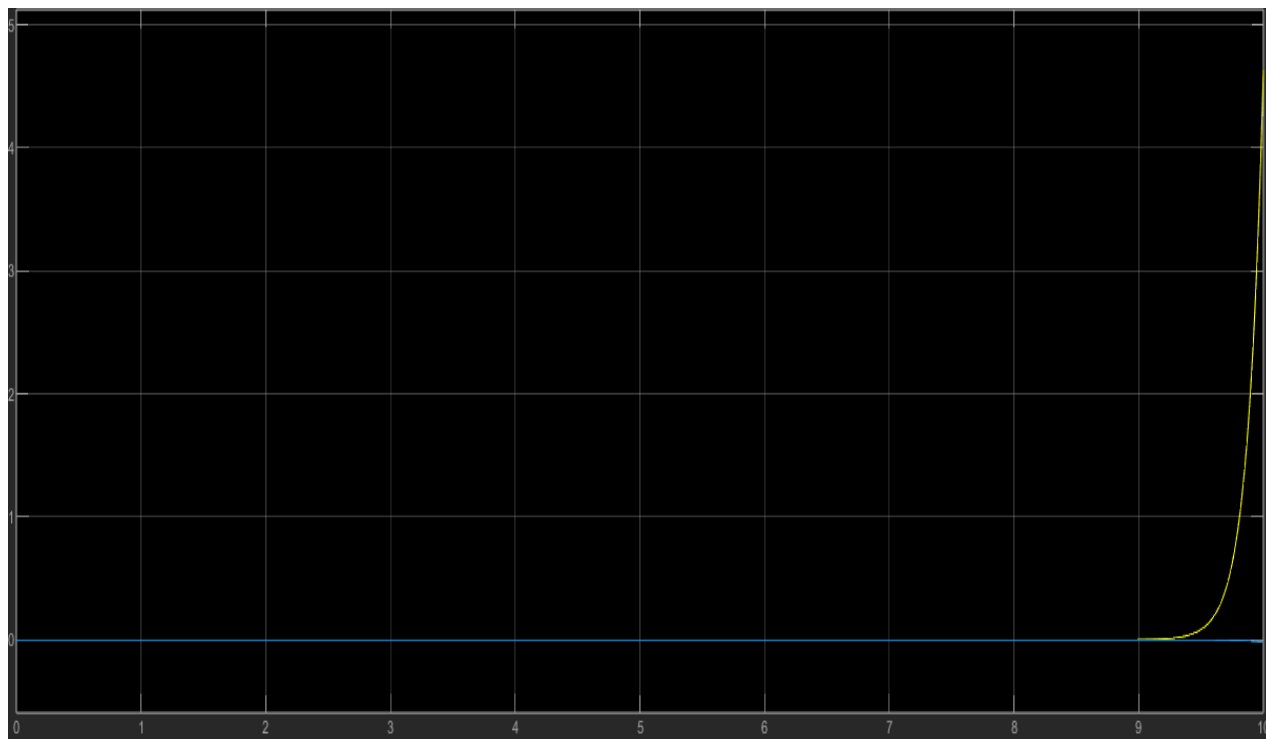
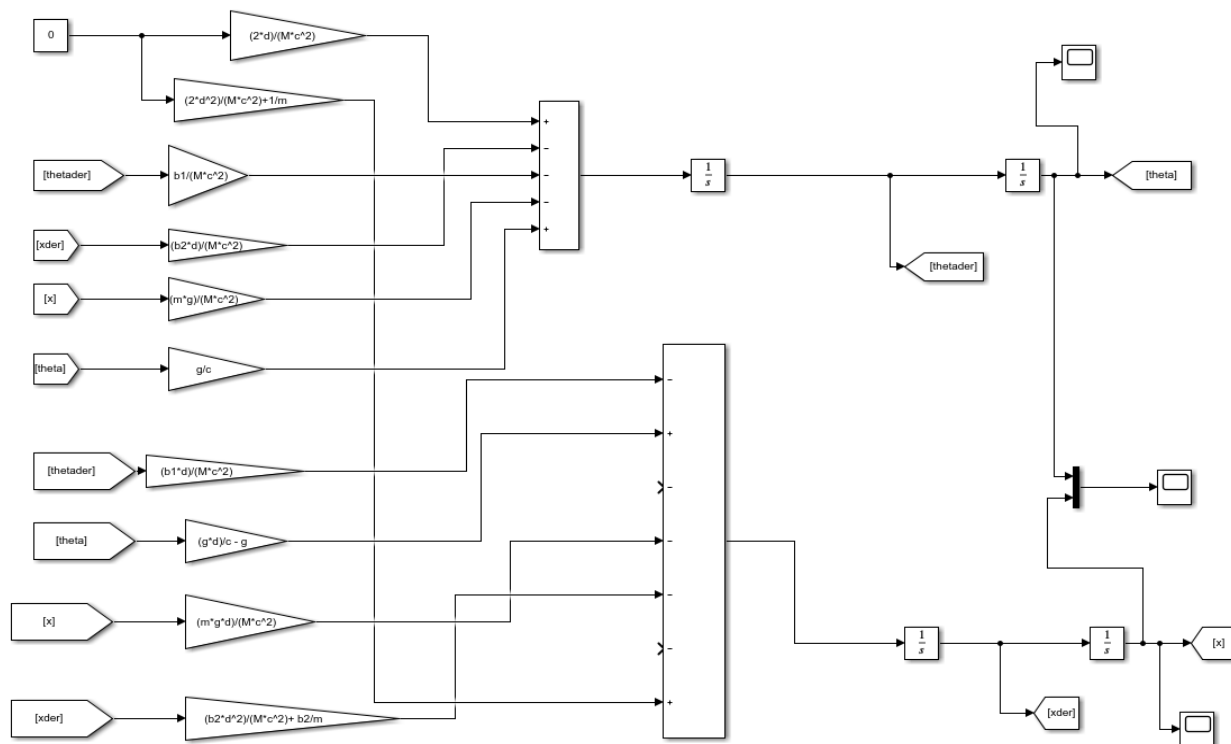
$$y = Cx + Du$$

$$x = \begin{bmatrix} \theta \\ \dot{\theta} \\ x \\ \dot{x} \end{bmatrix} \quad (32)$$

$$\begin{bmatrix} \dot{\theta} \\ \ddot{\theta} \\ \dot{x} \\ \ddot{x} \end{bmatrix} = \begin{bmatrix} 0 & 1 & 0 & 0 \\ \frac{g}{c} & -\frac{b_1}{Mc^2} & -\frac{mg}{Mc^2} & -\frac{b_2d}{Mc^2} \\ 0 & 0 & 0 & 1 \\ \frac{gd}{c} - g & -\frac{b_1d}{Mc^2} & -\frac{mgd}{Mc^2} & -\left(\frac{b_2d^2}{Mc^2} + \frac{b_2}{m}\right) \end{bmatrix} \begin{bmatrix} \theta \\ \dot{\theta} \\ x \\ \dot{x} \end{bmatrix} + \begin{bmatrix} 0 \\ \frac{2d}{Mc^2} \\ 0 \\ \left(\frac{2d^2}{Mc^2} + \frac{1}{m}\right) \end{bmatrix} F \quad (33)$$

$$y = \begin{bmatrix} 1 & 0 & 0 & 0 \\ 0 & 0 & 1 & 0 \end{bmatrix} \begin{bmatrix} \theta \\ \dot{\theta} \\ x \\ \dot{x} \end{bmatrix} + \begin{bmatrix} 0 \\ 0 \end{bmatrix} \quad (34)$$

2.2. Simulacijski model linearnog sustava i njegov odziv



Slika 2 Odziv linearnog sustava

3. Sinteza regulatora

Pošto su odzivi u oba sustava; linearnog i nelinearnom nestabilni bez regulatora, u sljedećim poglavljima ćemo izmodelirati optimalan LQR regulator za naš linearni sustav.

Za pronalaženje optimalne matrice pojačanja koristimo kod naveden dolje. On pomoću naredbe „lqr“ pronalazi optimalne vrijednosti s obzirom na trenutni prostor stanja.

```
m = 0.3; %masa klizaca
M = 1.2; %masa okvira
b1 = 0.05; %koef. viskoznog trenja okvira
b2 = 45; %koef. viskoznog trenja klizača
g = 9.81; %gravitacijsko ubrzanje
d = 0.062; %visina težišta klizača od centra rotacije
c = 0.03;
A = [0 1 0 0;
g/c -b1/(M*c*c) -(m*g)/(M*c*c) -(b2*d)/(M*c*c);
0 0 0 1;
(g*d/c - g) -(b1*d)/(M*c*c) -(m*g*d)/(M*c*c) -((b2*d*d)/(M*c*c) + b2/m) ];
B = [0; 2*d/(M*c*c); 0; ((2*d*d)/(M*c*c)+1/m) ];
C = [1 0 0 0; 0 0 1 0];

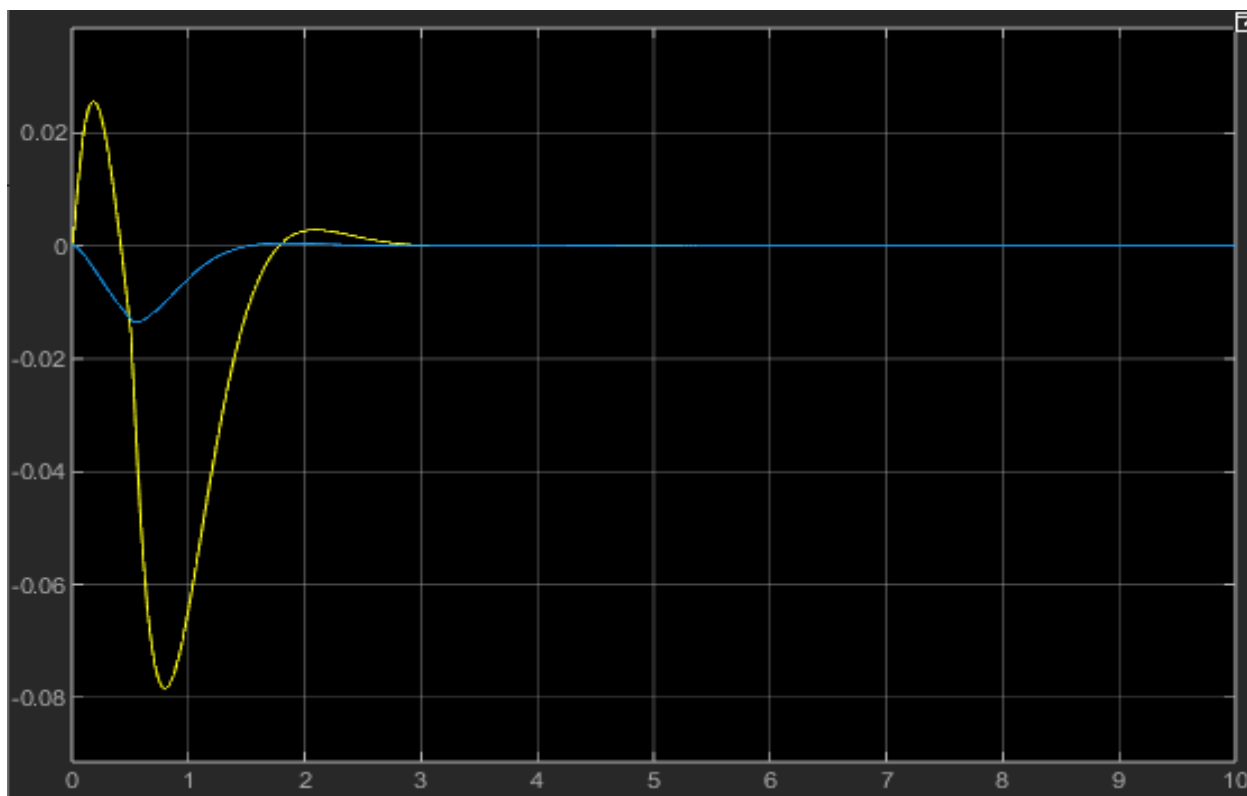
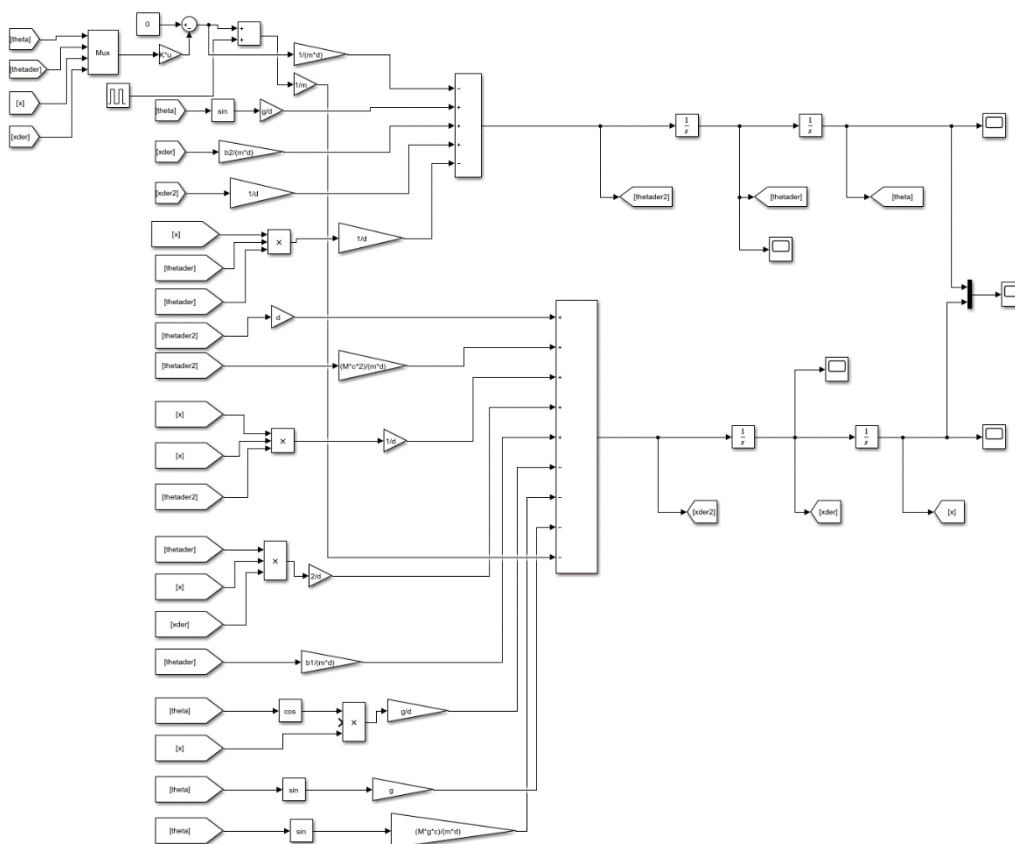
D = [0; 0];
q1=(1/0.5)^2;
q2=(1/0.5)^2;
q3=(1/0.3)^2;
q4=(1/0.3)^2;
% Matrice Q i R
Q=[q1 0 0 0 ;
0 q2 0 0 ;
0 0 q3 0 ;
0 0 0 q4 ];
R=1;
K=lqr(A,B,Q,R)

Ac=[(A-B*K)];
Bc=[B];
Cc=[C];

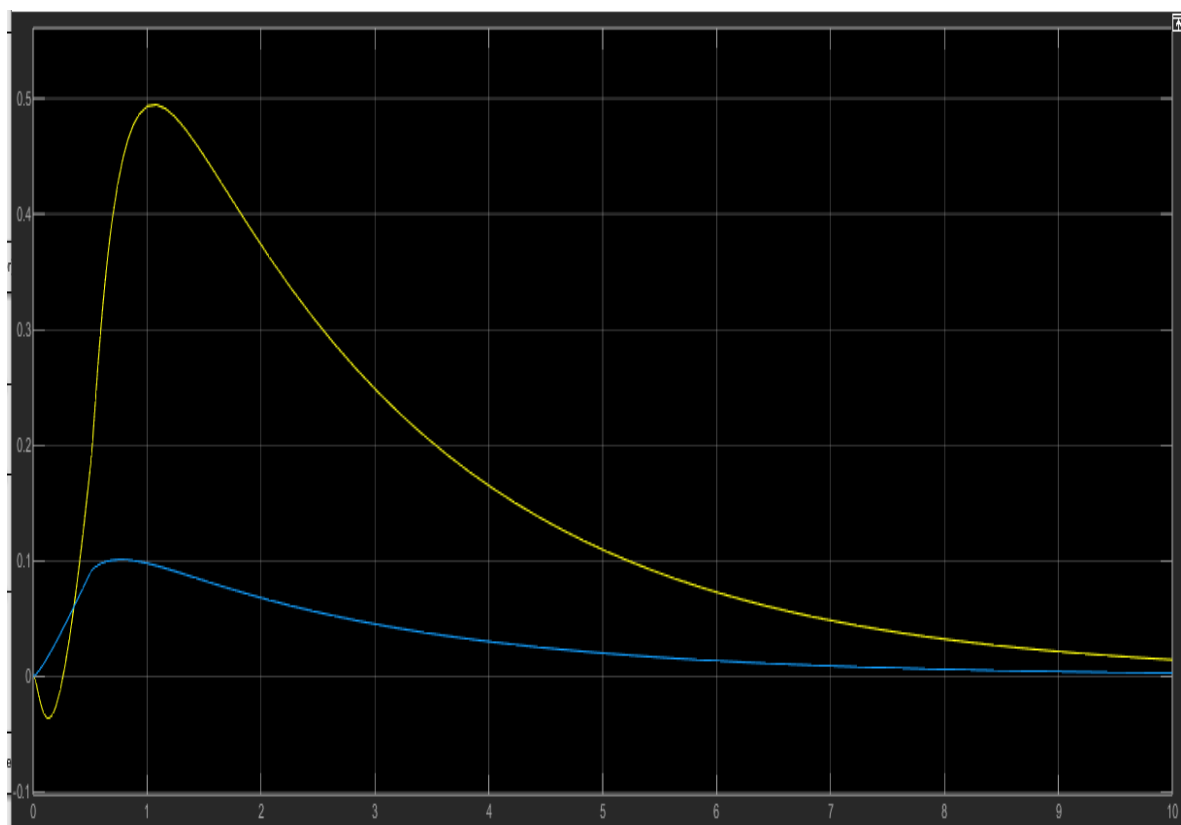
Cc=[C];
Dc=[D];
x0=[0; 0; 0.1; 0];
T=0:0.01:10;
U=0*ones(size(T));
[Y,X]=lsim(Ac,Bc,Cc,Dc,U,T,x0);
plot(T,Y)
legend('okvir','klizac')
xlabel('t,s'), ylabel('x, \theta')
```

Slika 3 Matlab kod LQR regulatora

3.1. Odzivi sustava sa uključenim regulatorom



Slika 4 Odziv nelinearnog sustava sa uključenim regulatorom



Slika 5 Odziv linearnog sustava sa uključenim regulatorom

4. Zaključak

Iz rezultata možemo zaključiti da je sustav bez regulatora nestabilan i u stvarnosti bi klizač samo pao na jednu stranu okvira. Sa uključenim regulatorom cijelo vrijeme se kompenzira greška i sustav se s vremenom dovede u stanje ravnoteže. Možemo primijetiti da je linearni sustav jednostavniji za analizu i simulaciju, ali nelinearni sustav je precizniji i točniji.